

弾性支持ばりをもつ矩形板の解法

(一对辺がラーメンに？弾性支持される場合)

九州大学工学部 正員 山崎徳也

少々少々 横木武

少々少々 大学院学生員 ○金子忠男

1 緒言 弾性ばりで支持される矩形板の解法に関する研究は、これまで多くの人々により行なわれてきた。かかるにこれらはいずれも板を支持する弾性ばりが板一辺間に付し一辺間にばりで構成される場合に限定され、連続ばりや任意径間ラーメン等により構成される場合の解法を提示した論文は著者等の知る範囲では未だ見当らない。先に著者等は一对辺が連続ばりで弾性支持され、他対辺が単純支持される矩形板の解法を発表したが、本研究はその続報とし、一对辺がラーメンにて弾性支持され、他対辺が単純支持される矩形板の解法を提示するものである。なお本研究では文献(6)と同様次の二通り仮定を行った。(1)板は等方性等断面とする。(2)弾性ばりは板と等しいたわみを起し、弾性ばりと板との間に隙間が生ずることなく、また両者は隅部で浮び上がるとのようすに支持されているものとする。(3)弾性ばりは捩れ変形を起さず、曲げ変形のみを生ずる。(4)弾性ばりの曲げ剛性はその全長に渡って一定であるものとする。

2 解法 (1)板の弾性曲面 図-1に示す矩形板ABCDAにおいて、辺AB:沿X軸、AC:沿Y軸、紙面に直交するZ軸をもつ直交座標系(x, y, z)を導入し、板に作用する任意垂直接荷重をq(x, y)、また板のZ軸方向のたわみをwとすれば板の基礎微分方程式は図中のごとく次式で与えられる。

$$\frac{\partial^4 w}{\partial x^4} + 2 \frac{\partial^4 w}{\partial x^2 \partial y^2} + \frac{\partial^4 w}{\partial y^4} = \frac{q(x, y)}{D} \quad (1) \quad \text{ここで } D = \frac{E p h_p^3}{12(1-\nu^2)} : \text{板剛度 } E_p : \text{板の厚さ} \\ E_p : \text{板の弾性係数 } \nu : \text{板のポアソン比}$$

基礎微分方程式(1)の一般解は文献(7)の式(7)に示すごとく次式で表わされる。

$$w = \sum_{m=1}^{\infty} (A_m \sinh \alpha_m y + B_m y \sinh \alpha_m y + C_m \cosh \alpha_m y + D_m y \cosh \alpha_m y) \sin \alpha_m x \\ + \sum_{n=1}^{\infty} (A_n \sinh \beta_n x + B_n x \sinh \beta_n x + C_n \cosh \beta_n x + D_n x \cosh \beta_n x) \sin \beta_n y + \sum_{m=1}^{\infty} \sum_{n=1}^{\infty} G_{mn} \sin \alpha_m x \sin \beta_n y \quad (2) \\ \text{ここに } \alpha_m = \frac{m\pi}{a}, \beta_n = \frac{n\pi}{b}, G_{mn} = \frac{f_{mn}}{D(\alpha_m^2 + \beta_n^2)^2}, f_{mn} = \frac{4}{ab} \int_0^a \int_0^b q(x, y) \sin \alpha_m x \sin \beta_n y dy dx \\ A_m, B_m, C_m, D_m, A_n, B_n, C_n, D_n \text{ は積分定数}$$

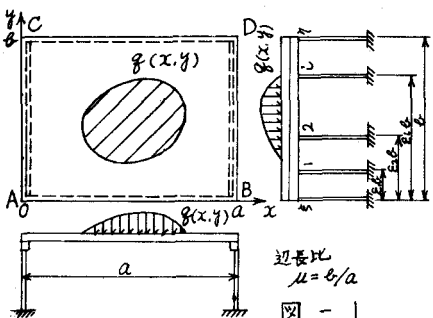
さて図-1に示すごとく矩形板ABCDAが辺AB, CDで単純支持され、かつ辺AC, BDでラーメン部材ぐる弾性支持されるものとする。(以下ラーメンにおける板を直接支持する一連の部材を部材列と称する) (かかるとき、辺AB, CDにおける境界条件は次の二通りとなる)。

$$\begin{cases} y=0^\circ, W=(W)y=0=0, M_y=-D\left(\frac{\partial^2 W}{\partial y^2}+\nu\frac{\partial^2 W}{\partial x^2}\right)_{y=0}=0 \\ y=b^\circ, W=(W)y=b=0, M_y=-D\left(\frac{\partial^2 W}{\partial y^2}+\nu\frac{\partial^2 W}{\partial x^2}\right)_{y=b}=0 \end{cases} \quad (3)$$

また辺AC, BDでX方向の端モーメントが0であること、および部材列AC, BDの弾性曲線を $\delta_A(y), \delta_B(y)$

とすれば、板のたわみがこれら $\delta_A(y), \delta_B(y)$ に等しいことより次の境界条件式を得る。

$$\begin{cases} x=0^\circ, W=\delta_A(y), M_x=-D\left(\frac{\partial^2 W}{\partial y^2}+\nu\frac{\partial^2 W}{\partial x^2}\right)_{x=0}=0 \\ x=a^\circ, W=\delta_B(y), M_x=-D\left(\frac{\partial^2 W}{\partial y^2}+\nu\frac{\partial^2 W}{\partial x^2}\right)_{x=a}=0 \end{cases} \quad (4)$$



したがって、部材列 A, C, B, D の弾性曲線 $\delta_A(y)$, $\delta_B(y)$ を正弦フーリエ級数で表わすものとし、次のとく仮定する。
 $\delta_A(y) = \sum_{n=1}^{\infty} \delta_{An} \sin \beta_n y$, $\delta_B(y) = \sum_{n=1}^{\infty} \delta_{Bn} \sin \beta_n y$ (5)

式(5)を式(4)に代入して得られる諸式と式(3)の境界条件とに式(2)を代入し、積分定数 $A_m \sim D_m$, $A_n \sim D_n$ を求めれば次の結果を得る。

$$\left. \begin{aligned} A_m &= B_m = C_m = D_m = 0, \quad A_n = -\frac{1}{\sinh \beta_n} \{ \cosh \beta_n + \frac{(1-\nu) \beta_n}{2 \sinh \beta_n} \} \delta_{An} + \frac{1}{\sinh \beta_n} \{ 1 + \frac{(1-\nu) \beta_n \cosh \beta_n}{2 \sinh \beta_n} \} \delta_{Bn} \\ B_n &= -\frac{(1-\nu) \beta_n}{2} \delta_{An}, \quad C_n = \delta_{An}, \quad D_n = \frac{(1-\nu) \beta_n}{2 \sinh \beta_n} (\delta_{An} \cosh \beta_n - \delta_{Bn}), \quad \beta_n = \frac{n\pi a}{L} \end{aligned} \right\} \quad (6)$$

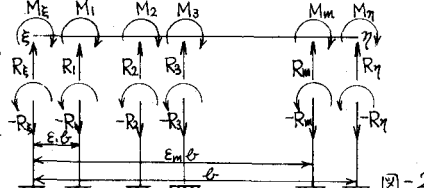
式(6)において δ_{An} , δ_{Bn} は、板から部材列に伝えられる辺 A, C, B, D の反力 $V_A(y) = (V_x)_{x=0}$ および
 $V_B(y) = (V_x)_{x=a}$ を荷重として受けける部材列 A, C, B, D の弾性曲線が式(5)の $\delta_A(y)$, $\delta_B(y)$ にそれぞれ等しい
という条件より次のとく求められる。まず部材列に荷重と力を作用する板の反力 V_x とたわみ W との
関係は周知のこととく次式で与えられる。
 $V_x = -D \left\{ \frac{\partial^3 W}{\partial x^3} + (2-\nu) \frac{\partial^2 W}{\partial x^2 \partial y^2} \right\}$ (7)
式(6)を式(2)に代入して得られる結果を式(7)に代入して、辺 A, C, および B, D の反力 $V_A(y)$, $V_B(y)$ を求めれば
1 ば次式のとく得られる。

$$\left. \begin{aligned} V_A(y) &= \sum_{n=1}^{\infty} V_{An} \sin \beta_n y \\ V_B(y) &= \sum_{n=1}^{\infty} V_{Bn} \sin \beta_n y \end{aligned} \right\} \quad (8)$$

$$\begin{aligned} V_{An} &= D \left[-h(\beta_n) \delta_{An} + \bar{h}(\beta_n) \delta_{Bn} + \sum_{m=1}^{\infty} \{ \alpha_m^2 + (2-\nu) \beta_n^2 \} \alpha_m G_{mn} \right] \\ V_{Bn} &= D \left[\bar{h}(\beta_n) \delta_{An} - h(\beta_n) \delta_{Bn} - \sum_{m=1}^{\infty} (-1)^m \{ \alpha_m^2 + (2-\nu) \beta_n^2 \} \alpha_m G_{mn} \right] \end{aligned} \quad (9)$$

$h(\beta_n) = \{ (1-\nu) \beta_n + (3+\nu) \sinh \beta_n \cosh \beta_n \} (1-\nu) \beta_n^3 / (2 \sinh^2 \beta_n)$
 $\bar{h}(\beta_n) = \{ (1-\nu) \beta_n \cosh \beta_n + (3+\nu) \sinh \beta_n \} (1-\nu) \beta_n^3 / (2 \sinh^2 \beta_n)$

他方、図-2 に示すとく任意垂直荷重 $p(y)$ が作用する場合のラーメンの部材列 γ の弾性曲線 $\delta_\gamma(y)$ 、フーリエ級数を用いて次のとく表わすを得る。(文献(8)の式(10)参照)



$\delta_\gamma(y) = \frac{c^3}{EI^4} \sum_{n=1}^{\infty} \frac{1}{n^4} H_n \sin \frac{n\pi}{L} y$, $H_n = \frac{2}{L} \int_0^L p(y) \sin \frac{n\pi}{L} y dy - \frac{2}{E} \sum_{i=1}^r R_i \sin n\pi \varepsilon_i + \frac{2n\pi}{E^2} \sum_{i=1}^r M_i \cos n\pi \varepsilon_i + \frac{2n\pi}{E^2} \{ M_{g0}^A + (-1)^r M_{g0}^B \}$
 \vdots ただし $p(y)$: 任意垂直荷重, R_i : 中間支柱反力, M_i : 中間支柱の柱頭モーメント, M_{g0}^A, M_{g0}^B : 端モーメント (10)
いは、辺 A, C における部材列が中間支柱 r 個 ($i=1, 2, \dots, r$) で支えられ、辺 B, D における部材列が中間支柱 s 個 ($j=1, 2, \dots, s$) で支えられるものとする。かかるとき、式(10)における荷重 $p(y)$ と 1 も式(8)の
 $V_A(y)$, $V_B(y)$ を用いれば、辺 A, C, B, D における各部材列の弾性曲線 $\delta_\gamma(y)$, $\delta_\gamma(y)$ は結局次のとく求められる。

$$\left. \begin{aligned} \delta_A(y) &= c^3 R_A / (D \Pi^4) \sum_{n=1}^{\infty} \frac{1}{n^4} H_n^A \sin \beta_n y \\ \delta_B(y) &= c^3 R_B / (D \Pi^4) \sum_{n=1}^{\infty} \frac{1}{n^4} H_n^B \sin \beta_n y \end{aligned} \right\} \quad (11)$$

$$R_A = c^3 D / E^2 I_c^2, \quad R_B = c^3 D / E^2 I_c^2.$$

式(11)を式(5)に代入のうえさらに式(9)を用いれば δ_{An} , δ_{Bn} に関する二元連立方程式が得られる故、これと連立して解けば δ_{An} , δ_{Bn} が次のとく求めらる。

$$\begin{aligned} \delta_{An} &= \frac{c^3 R_A}{H^4 \Pi^4 D} \left[\left(\frac{2c^2 K}{H^4 \Pi^4} - 2 \right) \sum_{j=1}^r R_j^A \sin n\pi \varepsilon_j^A + \left(-\frac{2c^2 K}{H^4 \Pi^4} + \frac{2n\pi}{c^2} \right) \sum_{j=1}^r M_j^A \cos n\pi \varepsilon_j^A + \left(\frac{2n\pi}{c^2} - \frac{2c^2 K}{H^4 \Pi^4} \right) \{ M_{g0}^A + (-1)^r M_{g0}^B \} \right. \\ &\quad \left. - \frac{2c^2 \bar{h}(\beta_n)}{H^4 \Pi^4} R_B \sum_{j=1}^s R_j^B \sin n\pi \varepsilon_j^B + \frac{2c^2 \bar{h}(\beta_n)}{H^4 \Pi^4} R_B \sum_{j=1}^s M_j^B \cos n\pi \varepsilon_j^B + \frac{2c^2 \bar{h}(\beta_n)}{H^4 \Pi^4} R_B \{ M_{g0}^B + (-1)^r M_{g0}^A \} + \sum_{m=1}^{\infty} \frac{L'}{H} \{ \alpha_m^2 + (2-\nu) \beta_n^2 \} \alpha_m G_{mn} \right] \\ \delta_{Bn} &= \frac{c^3 R_B}{H^4 \Pi^4 D} \left[-\frac{2c^2 \bar{h}(\beta_n)}{H^4 \Pi^4} R_A \sum_{j=1}^r R_j^A \sin n\pi \varepsilon_j^A + \frac{2c^2 \bar{h}(\beta_n)}{H^4 \Pi^4} R_A \sum_{j=1}^r M_j^A \cos n\pi \varepsilon_j^A + \frac{2c^2 \bar{h}(\beta_n)}{H^4 \Pi^4} R_A \{ M_{g0}^A + (-1)^r M_{g0}^B \} \right. \\ &\quad \left. + \left(\frac{2c^2 K'}{H^4 \Pi^4} - 2 \right) \sum_{j=1}^s R_j^B \sin n\pi \varepsilon_j^B + \left(\frac{2n\pi}{c^2} - \frac{2c^2 K'}{H^4 \Pi^4} \right) \sum_{j=1}^s M_j^B \cos n\pi \varepsilon_j^B + \left(\frac{2n\pi}{c^2} - \frac{2c^2 K'}{H^4 \Pi^4} \right) \{ M_{g0}^B + (-1)^r M_{g0}^A \} - \sum_{m=1}^{\infty} (-1)^m \{ \alpha_m^2 + (2-\nu) \beta_n^2 \} \alpha_m G_{mn} \right] \end{aligned}$$

$$\vdots \quad H = 1 + \frac{c^3 R_A (\beta_n)}{H^4 \Pi^4} R_A + \frac{c^3 R_B (\beta_n)}{H^4 \Pi^4} R_B + \frac{c^3 R_A (\beta_n)}{H^4 \Pi^4} R_A R_B - \frac{c^3 R_B (\beta_n)}{H^4 \Pi^4} R_A R_B \quad (\text{以上式(12)})$$

$$K = R_A \{ h(\beta_n) + \frac{c^3 \bar{h}^2(\beta_n)}{H^4 \Pi^4} R_B - \frac{c^3 \bar{h}^2(\beta_n)}{H^4 \Pi^4} R_B \}, \quad K' = R_B \{ \bar{h}(\beta_n) + \frac{c^3 \bar{h}^2(\beta_n)}{H^4 \Pi^4} R_A - \frac{c^3 \bar{h}^2(\beta_n)}{H^4 \Pi^4} R_A \}$$

$$L = 1 + \frac{c^3 R_A (\beta_n)}{H^4 \Pi^4} R_A - (-1)^r \frac{c^3 R_B (\beta_n)}{H^4 \Pi^4} R_A, \quad L' = 1 + \frac{c^3 R_A (\beta_n)}{H^4 \Pi^4} R_B - (-1)^r \frac{c^3 R_B (\beta_n)}{H^4 \Pi^4} R_B, \quad G_{mn} = f_{mn} / (\alpha_m^2 + \beta_n^2)^2$$

$R_i^A, R_j^B, M_i^A, M_j^B, M_{30}^A, M_{30}^B, M_{30}^B$ が与えられれば式(12) & 式(6)を代入すると、 $i = 1 \sim 5$ の積分定数 A_n, B_n, C_n, D_n が決定されることとなる。

(2) 基本連立方程式の誘導
辺 AC, BD におけるラーメンの部材列の中間支柱反力 R_i^A, R_j^B , 中間支柱モーメント M_i^A, M_j^B , および端モーメント $M_{30}^A, M_{30}^B, M_{30}^B$ を求めるための基本連立方程式は文献(8) の式(17)より次のとく与えられる。

$$\sum_{j=1}^r (R_i^A D_{kj} - \frac{\pi}{E} M_j^A D_{kj}') - \frac{\pi}{E} (M_{30}^A D_{kj}' + M_{30}^B D_{kj}) = \frac{E}{2} D_{ki}^A + F^A d_{ki}^A, \quad \sum_{j=1}^r (R_i^B D_{kj} - \frac{\pi}{E} M_j^B D_{kj}') - \frac{\pi}{E} (M_{30}^B D_{kj}' + M_{30}^A D_{kj}) = \frac{E}{2} D_{ki}^B - F^B d_{ki}^B \\ \sum_{j=1}^r (R_i^A D_{3j} - \frac{\pi}{E} M_j^A D_{3j}') - \frac{\pi}{E} (M_{30}^A D_{3j}' + M_{30}^B D_{3j}) = \frac{E}{2} D_{3i}^A - F^A \theta_{3i}^A, \quad \sum_{j=1}^r (R_i^B D_{3j} - \frac{\pi}{E} M_j^B D_{3j}') - \frac{\pi}{E} (M_{30}^B D_{3j}' + M_{30}^A D_{3j}) = \frac{E}{2} D_{3i}^B - F^B \theta_{3i}^B \\ \sum_{j=1}^r (R_j^B D_{kj} - \frac{\pi}{E} M_i^B D_{kj}') - \frac{\pi}{E} (M_{30}^B D_{kj}' + M_{30}^A D_{kj}) = \frac{E}{2} D_{ki}^B + F^B d_{ki}^B, \quad \sum_{j=1}^r (R_j^B D_{3j} - \frac{\pi}{E} M_i^B D_{3j}') - \frac{\pi}{E} (M_{30}^B D_{3j}' + M_{30}^A D_{3j}) = \frac{E}{2} D_{3i}^B - F^B \theta_{3i}^B \\ \sum_{j=1}^r (R_j^A D_{3j} - \frac{\pi}{E} M_i^A D_{3j}') - \frac{\pi}{E} (M_{30}^A D_{3j}' + M_{30}^B D_{3j}) = \frac{E}{2} D_{3i}^A - F^A \theta_{3i}^A, \quad \sum_{j=1}^r (R_j^A D_{kj} - \frac{\pi}{E} M_i^A D_{kj}') - \frac{\pi}{E} (M_{30}^A D_{kj}' + M_{30}^B D_{kj}) = \frac{E}{2} D_{ki}^A - F^A \theta_{ki}^A \quad (13)$$

$j = 1 \sim r$ ($k = 1, 2, \dots, r$), ($k = 1, 2, \dots, S$) d_{ki}^A, d_{ki}^B : 辺 AC, BD における部材列の各中間支柱の垂直変位量

$\theta_{ki}^A, \theta_{ki}^B$: 辺 AC, BD における部材列の各中間支柱の柱頭たわみ角。

$$F^A = E_A^A I_A^A \pi^4 / (2 \ell^3)$$

$\theta_{3i}^A, \theta_{3i}^B$: 辺 AC, BD における部材列の端部のたわみ角。

$$F^B = E_B^B I_B^B \pi^4 / (2 \ell^3)$$

$$D_{ki}^A = \sum_{n=1}^{\infty} \frac{1}{n^3} \sin \pi n \varepsilon_k^A \sin \pi n \varepsilon_i^A, \quad D_{ki}'^A = \sum_{n=1}^{\infty} \frac{(-1)^n}{n^3} \sin \pi n \varepsilon_k^A \cos \pi n \varepsilon_i^A, \quad D_{ki}^B = \sum_{n=1}^{\infty} \frac{(-1)^n}{n^3} \sin \pi n \varepsilon_k^B \sin \pi n \varepsilon_i^B, \quad D_{ki}'^B = \sum_{n=1}^{\infty} \frac{(-1)^n}{n^3} \sin \pi n \varepsilon_k^B \cos \pi n \varepsilon_i^B \\ D_{3i}^A = \sum_{n=1}^{\infty} \frac{1}{n^3} \cos \pi n \varepsilon_k^A \sin \pi n \varepsilon_i^A, \quad D_{3i}'^A = \sum_{n=1}^{\infty} \frac{(-1)^n}{n^3} \cos \pi n \varepsilon_k^A \cos \pi n \varepsilon_i^A, \quad D_{3i}^B = \sum_{n=1}^{\infty} \frac{1}{n^3} \cos \pi n \varepsilon_k^B \sin \pi n \varepsilon_i^B, \quad D_{3i}'^B = \sum_{n=1}^{\infty} \frac{(-1)^n}{n^3} \cos \pi n \varepsilon_k^B \cos \pi n \varepsilon_i^B \\ D_{ki}^A = \sum_{n=1}^{\infty} \frac{\sin \pi n \varepsilon_i^A}{n^3}, \quad D_{ki}'^A = \sum_{n=1}^{\infty} \frac{(-1)^n}{n^3} \sin \pi n \varepsilon_i^A, \quad D_{ki}^B = \sum_{n=1}^{\infty} \frac{(-1)^n}{n^3} \sin \pi n \varepsilon_i^B, \quad D_{ki}'^B = \sum_{n=1}^{\infty} \frac{(-1)^n}{n^3} \sin \pi n \varepsilon_i^B \\ D_{3i}^A = \sum_{n=1}^{\infty} \frac{(-1)^n}{n^3}, \quad D_{3i}'^A = \sum_{n=1}^{\infty} \frac{1}{n^3} \sin \pi n \varepsilon_i^A, \quad D_{3i}^B = \sum_{n=1}^{\infty} \frac{(-1)^n}{n^3} \sin \pi n \varepsilon_i^B, \quad D_{3i}'^B = \sum_{n=1}^{\infty} \frac{1}{n^3} \sin \pi n \varepsilon_i^B$$

$$D_{ki}^A = \sum_{n=1}^{\infty} \frac{(-1)^n}{n^3} \sin \pi n \varepsilon_k^A \sin \pi n \varepsilon_i^B, \quad D_{ki}'^A = \sum_{n=1}^{\infty} \frac{(-1)^n}{n^3} \sin \pi n \varepsilon_k^A \cos \pi n \varepsilon_i^B, \quad D_{ki}^B = \sum_{n=1}^{\infty} \frac{(-1)^n}{n^3} \sin \pi n \varepsilon_k^B \sin \pi n \varepsilon_i^A, \quad D_{ki}'^B = \sum_{n=1}^{\infty} \frac{(-1)^n}{n^3} \sin \pi n \varepsilon_k^B \cos \pi n \varepsilon_i^A \\ D_{3i}^A = \sum_{n=1}^{\infty} \frac{1}{n^3} \cos \pi n \varepsilon_k^B \cos \pi n \varepsilon_i^B, \quad D_{3i}'^A = \sum_{n=1}^{\infty} \frac{(-1)^n}{n^3} \cos \pi n \varepsilon_k^B \sin \pi n \varepsilon_i^B, \quad D_{3i}^B = \sum_{n=1}^{\infty} \frac{(-1)^n}{n^3} \cos \pi n \varepsilon_k^A \cos \pi n \varepsilon_i^B, \quad D_{3i}'^B = \sum_{n=1}^{\infty} \frac{(-1)^n}{n^3} \cos \pi n \varepsilon_k^A \sin \pi n \varepsilon_i^B \\ D_{3i}^A = \sum_{n=1}^{\infty} \frac{1}{n^3}, \quad D_{3i}'^A = \sum_{n=1}^{\infty} \frac{(-1)^n}{n^3} \sin \pi n \varepsilon_i^B, \quad D_{3i}^B = \sum_{n=1}^{\infty} \frac{(-1)^n}{n^3} \sin \pi n \varepsilon_i^A, \quad D_{3i}'^B = \sum_{n=1}^{\infty} \frac{1}{n^3} \sin \pi n \varepsilon_i^A$$

式(12) & 式(9)を代入して V_m, V_{3m} を求め、これらを式(13)を代入し演算のうえ整理すれば、矩形板を支えられた x - y 部材列 AC, BD の各不静定量を求める基本連立方程式が次式のとく得られる。

$$\sum_{k=1}^r (D_{ki}^A - \bar{P}_k^A) R_i^A - \frac{\pi}{E} \sum_{j=1}^r (D_{kj}^A - \bar{P}_k^A) M_j^A + \sum_{j=1}^r \bar{P}_k^A R_j^B - \frac{\pi}{E} \sum_{j=1}^r \bar{P}_k^A M_j^B - \frac{\pi}{E} (D_{ki}^A - \bar{P}_k^A) M_{30}^A - \frac{\pi}{E} (D_{ki}^B - \bar{P}_k^B) M_{30}^B - \frac{\pi}{E} \bar{P}_k^A M_{30}^B - \frac{\pi}{E} \bar{P}_k^B M_{30}^A = \frac{E}{2} P_k^A + F^A d_{ki}^A \\ \sum_{k=1}^r (D_{ki}^B - \bar{P}_k^B) R_i^B - \frac{\pi}{E} \sum_{j=1}^r (D_{kj}^B - \bar{P}_k^B) M_j^B - \frac{\pi}{E} (D_{ki}^A - \bar{P}_k^A) M_{30}^B - \frac{\pi}{E} (D_{ki}^B - \bar{P}_k^B) M_{30}^A - \frac{\pi}{E} \bar{Q}_k^A M_{30}^B - \frac{\pi}{E} \bar{Q}_k^B M_{30}^A = \frac{E}{2} Q_k^B - F^B d_{ki}^B \\ \sum_{k=1}^r (D_{3i}^A - \bar{R}_k^A) R_i^A - \frac{\pi}{E} \sum_{j=1}^r (D_{3j}^A - \bar{R}_k^A) M_j^A + \sum_{j=1}^r \bar{R}_k^A R_j^B - \frac{\pi}{E} \sum_{j=1}^r \bar{R}_k^A M_j^B - \frac{\pi}{E} (D_{3i}^A - \bar{R}_k^A) M_{30}^A - \frac{\pi}{E} (D_{3i}^B - \bar{R}_k^B) M_{30}^B - \frac{\pi}{E} \bar{R}_k^A M_{30}^B - \frac{\pi}{E} \bar{R}_k^B M_{30}^A = \frac{E}{2} R_k^A - F^A \theta_{3i}^A \\ \sum_{k=1}^r (D_{3i}^B - \bar{R}_k^B) R_i^B - \frac{\pi}{E} \sum_{j=1}^r (D_{3j}^B - \bar{R}_k^B) M_j^B - \frac{\pi}{E} (D_{3i}^A - \bar{R}_k^A) M_{30}^B - \frac{\pi}{E} (D_{3i}^B - \bar{R}_k^B) M_{30}^A - \frac{\pi}{E} \bar{R}_k^A M_{30}^B - \frac{\pi}{E} \bar{R}_k^B M_{30}^A = \frac{E}{2} R_k^B - F^B \theta_{3i}^B \\ \sum_{k=1}^r P_k^A R_i^A - \frac{\pi}{E} \sum_{j=1}^r P_k^A M_j^A + \sum_{j=1}^r (\bar{D}_{kj}^A - \bar{P}_k^A) R_j^B - \frac{\pi}{E} \sum_{j=1}^r (\bar{D}_{kj}^A - \bar{P}_k^A) M_j^B - \frac{\pi}{E} P_k^A M_{30}^A - \frac{\pi}{E} \bar{P}_k^A M_{30}^B - \frac{\pi}{E} (D_{ki}^A - \bar{P}_k^A) M_{30}^B - \frac{\pi}{E} (D_{ki}^B - \bar{P}_k^B) M_{30}^A = -\frac{E}{2} P_k^A + F^A d_{ki}^A \\ \sum_{k=1}^r Q_k^B R_i^B - \frac{\pi}{E} \sum_{j=1}^r Q_k^B M_j^B + \sum_{j=1}^r (\bar{D}_{kj}^B - \bar{P}_k^B) R_j^A - \frac{\pi}{E} \sum_{j=1}^r (\bar{D}_{kj}^B - \bar{P}_k^B) M_j^A - \frac{\pi}{E} Q_k^A M_{30}^B - \frac{\pi}{E} \bar{Q}_k^B M_{30}^A - \frac{\pi}{E} (D_{ki}^A - \bar{P}_k^A) M_{30}^B - \frac{\pi}{E} (D_{ki}^B - \bar{P}_k^B) M_{30}^A = -\frac{E}{2} Q_k^B + F^B d_{ki}^B \\ \sum_{k=1}^r R_k^A R_i^A - \frac{\pi}{E} \sum_{j=1}^r R_k^A M_j^A + \sum_{j=1}^r (\bar{D}_{3j}^A - \bar{R}_k^A) M_j^B - \frac{\pi}{E} \sum_{j=1}^r (\bar{D}_{3j}^A - \bar{R}_k^A) M_{30}^A - \frac{\pi}{E} R_k^A M_{30}^B - \frac{\pi}{E} (D_{3i}^A - \bar{R}_k^A) M_{30}^B - \frac{\pi}{E} (D_{3i}^B - \bar{R}_k^B) M_{30}^A = -\frac{E}{2} R_k^A - F^A \theta_{3i}^A \\ \sum_{k=1}^r S_k^B R_i^B - \frac{\pi}{E} \sum_{j=1}^r S_k^B M_j^B + \sum_{j=1}^r (\bar{D}_{3j}^B - \bar{R}_k^B) M_j^A - \frac{\pi}{E} \sum_{j=1}^r (\bar{D}_{3j}^B - \bar{R}_k^B) M_{30}^B - \frac{\pi}{E} S_k^A M_{30}^A - \frac{\pi}{E} (D_{3i}^A - \bar{S}_k^A) M_{30}^B - \frac{\pi}{E} (D_{3i}^B - \bar{S}_k^B) M_{30}^A = -\frac{E}{2} S_k^B - F^B \theta_{3i}^B \\ \sum_{k=1}^r \bar{P}_k^A R_i^A - \frac{\pi}{E} \sum_{j=1}^r \bar{P}_k^A M_j^A + \sum_{j=1}^r (\bar{D}_{kj}^A - \bar{P}_k^A) R_j^B - \frac{\pi}{E} \sum_{j=1}^r (\bar{D}_{kj}^A - \bar{P}_k^A) M_j^B - \frac{\pi}{E} \bar{P}_k^A M_{30}^A - \frac{\pi}{E} \bar{P}_k^A M_{30}^B - \frac{\pi}{E} (D_{ki}^A - \bar{P}_k^A) M_{30}^B - \frac{\pi}{E} (D_{ki}^B - \bar{P}_k^B) M_{30}^A = -\frac{E}{2} \bar{P}_k^A + F^A d_{ki}^A \\ \sum_{k=1}^r \bar{Q}_k^B R_i^B - \frac{\pi}{E} \sum_{j=1}^r \bar{Q}_k^B M_j^B + \sum_{j=1}^r (\bar{D}_{kj}^B - \bar{P}_k^B) R_j^A - \frac{\pi}{E} \sum_{j=1}^r (\bar{D}_{kj}^B - \bar{P}_k^B) M_j^A - \frac{\pi}{E} \bar{Q}_k^A M_{30}^B - \frac{\pi}{E} \bar{Q}_k^B M_{30}^A - \frac{\pi}{E} (D_{ki}^A - \bar{P}_k^A) M_{30}^B - \frac{\pi}{E} (D_{ki}^B - \bar{P}_k^B) M_{30}^A = -\frac{E}{2} \bar{Q}_k^B + F^B d_{ki}^B \\ \sum_{k=1}^r \bar{R}_k^A R_i^A - \frac{\pi}{E} \sum_{j=1}^r \bar{R}_k^A M_j^A + \sum_{j=1}^r (\bar{D}_{3j}^A - \bar{R}_k^A) M_j^B - \frac{\pi}{E} \sum_{j=1}^r (\bar{D}_{3j}^A - \bar{R}_k^A) M_{30}^A - \frac{\pi}{E} \bar{R}_k^A M_{30}^B - \frac{\pi}{E} (D_{3i}^A - \bar{R}_k^A) M_{30}^B - \frac{\pi}{E} (D_{3i}^B - \bar{R}_k^B) M_{30}^A = -\frac{E}{2} \bar{R}_k^A - F^A \theta_{3i}^A \\ \sum_{k=1}^r \bar{S}_k^B R_i^B - \frac{\pi}{E} \sum_{j=1}^r \bar{S}_k^B M_j^B + \sum_{j=1}^r (\bar{D}_{3j}^B - \bar{R}_k^B) M_j^A - \frac{\pi}{E} \sum_{j=1}^r (\bar{D}_{3j}^B - \bar{R}_k^B) M_{30}^B - \frac{\pi}{E} \bar{S}_k^A M_{30}^A - \frac{\pi}{E} (D_{3i}^A - \bar{S}_k^A) M_{30}^B - \frac{\pi}{E} (D_{3i}^B - \bar{S}_k^B) M_{30}^A = -\frac{E}{2} \bar{S}_k^B - F^B \theta_{3i}^B \quad (14)$$

$$j = 1 \sim r$$
 ($k = 1, 2, \dots, r$), ($k = 1, 2, \dots, S$) $\bar{P}_k^A = \sum_{n=1}^{\infty} \frac{e^3}{n^3 \pi^4 H} \sin \pi n \varepsilon_k^A \sin \pi n \varepsilon_i^A, \quad \bar{P}_k^B = \sum_{n=1}^{\infty} \frac{e^3}{n^3 \pi^4 H} \sin \pi n \varepsilon_k^B \sin \pi n \varepsilon_i^B \\ \bar{Q}_k^A = \sum_{n=1}^{\infty} \frac{e^3}{n^3 \pi^4 H} K \sin \pi n \varepsilon_k^A \cos \pi n \varepsilon_i^A, \quad \bar{Q}_k^B = \sum_{n=1}^{\infty} \frac{e^3}{n^3 \pi^4 H} K \sin \pi n \varepsilon_k^B \cos \pi n \varepsilon_i^B, \quad \bar{R}_k^A = \sum_{n=1}^{\infty} \frac{e^3}{n^3 \pi^4 H} K \cos \pi n \varepsilon_k^A \cos \pi n \varepsilon_i^A, \quad \bar{R}_k^B = \sum_{n=1}^{\infty} \frac{e^3}{n^3 \pi^4 H} K \cos \pi n \varepsilon_k^B \cos \pi n \varepsilon_i^B \\ \bar{S}_k^A = \sum_{n=1}^{\infty} \frac{e^3}{n^3 \pi^4 H} K \cos \pi n \varepsilon_k^A \sin \pi n \varepsilon_i^A, \quad \bar{S}_k^B = \sum_{n=1}^{\infty} \frac{e^3}{n^3 \pi^4 H} K \cos \pi n \varepsilon_k^B \sin \pi n \varepsilon_i^B, \quad \bar{P}_k^A = \sum_{n=1}^{\infty} \frac{e^3}{n^3 \pi^4 H} \bar{P}(n) \sin \pi n \varepsilon_k^A, \quad \bar{P}_k^B = \sum_{n=1}^{\infty} \frac{e^3}{n^3 \pi^4 H} \bar{P}(n) \sin \pi n \varepsilon_k^B \\ \bar{Q}_k^A = \sum_{n=1}^{\infty} \frac{e^3}{n^3 \pi^4 H} \bar{Q}(n) \cos \pi n \varepsilon_k^A, \quad \bar{Q}_k^B = \sum_{n=1}^{\infty} \frac{e^3}{n^3 \pi^4 H} \bar{Q}(n) \cos \pi n \varepsilon_k^B, \quad \bar{R}_k^A = \sum_{n=1}^{\infty} \frac{e^3}{n^3 \pi^4 H} \bar{R}(n) \cos \pi n \varepsilon_k^A, \quad \bar{R}_k^B = \sum_{n=1}^{\infty} \frac{e^3}{n^3 \pi^4 H} \bar{R}(n) \cos \pi n \varepsilon_k^B \\ \bar{R}_k^A = \sum_{n=1}^{\infty} \frac{e^3}{n^3 \pi^4 H} \bar{R}(n) \sin \pi n \varepsilon_k^A, \quad \bar{R}_k^B = \sum_{n=1}^{\infty} \frac{e^3}{n^3 \pi^4 H} \bar{R}(n) \sin \pi n \varepsilon_k^B, \quad \bar{S}_k^A = \sum_{n=1}^{\infty} \frac{e^3}{n^3 \pi^4 H} \bar{S}(n) \cos \pi n \varepsilon_k^A, \quad \bar{S}_k^B = \sum_{n=1}^{\infty} \frac{e^3}{n^3 \pi^4 H} \bar{S}(n) \cos \pi n \varepsilon_k^B$

式(14)は未知不静定量と同数の連立方程式となる故、これらを連立して解けば未知不静定量が求まり、その結果を式(12)に代入すれば δA_m , δB_m が求まり、さしにこれらを式(5)に代入すればランゲン＝カーフェルズ方程のたわみ、および諸変位、諸断面力が全て明確となる。また δA_m , δB_m を式(6)に代入すると式(4)より積分定数 $A_m \sim D_m$ が確定され、これらを用いて矩形板のたわみ(式(2))、および諸変位、諸断面力が決定されるとなる。

3) 計算例 図-31に示す矩形板ABCDは辺長比 $\mu = b/a$ を1.0、板剛度と部材剛度の割合 k_{ea}/k_{eb} を50

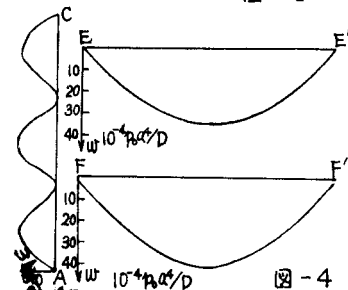
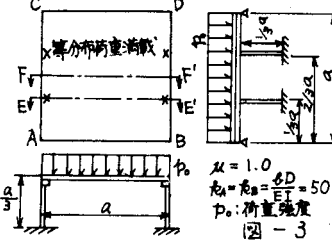
とし、辺 AC, BD において板が三径間T型ランプで支持され、矩形板に等分布荷重 p_0 が満載されるものとする。

(か) ところへ、各中間支柱の支柱沈下がないものとし、式(14)の基本連立方程式を解けば、部材列I=働く各不静定量が次値のとく求まる。

$$R_1^A = R_2^A = R_1^B = R_2^B = 0.13323 \mid p_0 a^2, -M_1^A = M_2^A = -M_1^B = M_2^B = 0.23220 \times 10^{-4} p_0 a$$

これらを式(12)に代入し得られる結果を式(6)に代入し積分定数を決定したのち、式(2)に代入すれば板の弾性曲面が求まることがわかる。特に $AC(=BD), EE', FF'$ 面(図-3参照)のたわみについては計算すれば図-41に示す結果となる。

(4)結語 本研究は表題のとく未解釈の構造物の解法を示した点で意義深いが、さういふに本法の応用拡張により周囲が全連続であり且びラーメンによる弹性支持される矩形板、および連続ばかりやラーメンによる弹性支持される一方向、二方向連続板等の解析が可能となり、これらにつけても逐次発表の予定である。なお、本研究は文部省科学研究費の補助を受けた記して謝意を表す。



- (1) 藤井忠二：矩形平面板と梁；昭和19年9月20日出版山海堂 (2) 坪井善勝：平面構造論；昭和30年6月15日発行丸善
 参考 (3) 東洋一：一边自由、双边固定二点載荷下弹性問題に立ち交わる平板；日本建築学会論文報告集60号 昭和33年10月
 弹性問題に立ち交わる矩形平板の有限COSIN変換による解法；日本建築学会論文報告集54号(大会号)昭和33年9月
 (4) 園元北海：持続境界条件を有する平板の解法などによる弹性問題上の平板；土木試験所報告第10号 昭和27年1月
 考考 (5) 成田昌夫：傾角挠度法による一方固定連続板の解法；工芸学会論文集 昭和23年
 (6) 山崎 横木、金子：弹性問題をもつ矩形板の解法(一辺固定重ね板)；日本建築学会論文報告集11号 昭和23年
 文献 (7) 山崎 横木：固定二点載荷下弹性問題の解法；土木学会論文集第136号 昭和41年12月
 (8) 山崎 横木：フリーティング問題による連続板の解法；九州大学工学部報告第39卷第3号 昭和41年10月